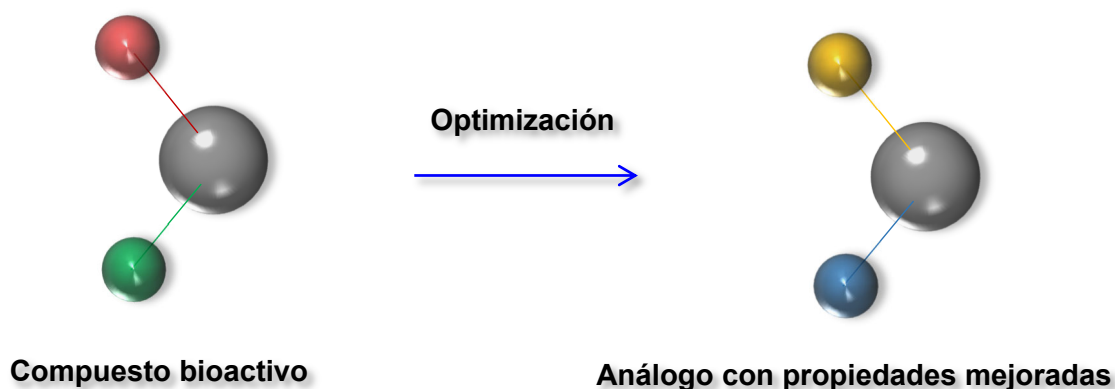


Síntesis de Análogos con Propiedades Mejoradas



Autores: M. Conde-Giménez, J. J. Galano-Frutos, M. Galiana-Cameo, A. Mahía, B. L. Victor, S. Salillas, A. Velázquez-Campoy, R. M. M. Brito, J. A. Gálvez, M. D. Díaz-de-Villegas, J. Sancho

Título: Alchemical design of pharmacological chaperones with higher affinity for phenylalanine hydroxylase

Revista: Int. J. Mol. Sci. 23, 4502, 2022

DOI: 10.3390/ijms23094502

Autores: A. Mahía, S. Peña-Díaz, S. Navarro, J. J. José Galano-Frutos, I. Pallarés, J. Pujols, M. D. Díaz-de-Villegas, J. A. Gálvez, S. Ventura, J. Sancho

Título: Design, synthesis and structure-activity evaluation of novel 2-pyridone-based inhibitors of α -synuclein aggregation with potentially improved BBB permeability

Revista: Bioorg. Chem. 117, 105472, 2021

DOI: 10.1016/j.bioorg.2021.105472

Autores: S. Salillas, J. J. Galano-Frutos, A. Mahía, R. Maity, M. Conde-Giménez, E. Anoz-Carbonell, H. Berlamont, A. Velázquez-Campoy, E. Touati, U. Mamat, U. E. Schaible, J. A. Gálvez, M. D. Díaz-de-Villegas, F. Haesebrouck, J. A. Aínsa, J. Sancho

Título: Selective targeting of human and animal pathogens of the *Helicobacter* genus by flavodoxin inhibitors: Efficacy, synergy, resistance and mechanistic studies

Revista: Int. J. Mol. Sci. 22, 10137, 2021

DOI: 10.3390/ijms221810137

Autores: S. Salillas, M. Alías, V. Michel, A. Mahía, A. Lucía, L. Rodrigues, J. Bueno, J. J. Galano-Frutos, H. De Reuse, A. Velázquez-Campoy, J. A. Carrodegua, C. Sostres, J. Castillo, J. A. Aínsa, M. D. Díaz-de-Villegas, A. Lanas, E. Touati, J. Sancho

Título: Design, synthesis and efficacy testing of nitroethylene- and 7-nitrobenzoxadiazol-based flavodoxin inhibitors against *Helicobacter pylori* drug-resistant clinical strains and in *Helicobacter pylori*-infected mice

Revista: J. Med. Chem. 62, 6102-6115, 2019

DOI: 10.1021/acs.jmedchem.9b00355

Autores: A. Mahía, M. Conde-Giménez, S. Salillas, I. Pallares, J. J. Galano, I. Lasa, S. Ventura, M. D. Díaz-de-Villegas, J. A. Gálvez, J. Sancho

Título: A pyrene-inhibitor fluorescent probe with large Stokes shift for the staining of A β ₁₋₄₂, α -synuclein and amylin amyloid fibrils as well as amyloid-containing *Staphylococcus aureus* biofilms

Revista: Anal. Bioanal. Chem. 411, 251-265, 2019

DOI: 10.1007/s00216-018-1433-8

Autores: A. Oliván-Viguera, M. Sofía Valero, E. Pinilla, S. Amor, A. L. García-Villalón, N. Coleman, C. Laría, V. Calvín-Tienza, A. L. García-Otín, J. M. Fernández-Fernández, M. D. Murillo, J. A. Gálvez, M. D. Díaz-de-Villegas, R. Badorrey, U. Simonsen, L. Rivera, H. Wulff, R. Köhler

Título: Vascular reactivity profile of novel K_{Ca}3.1-selective positive-gating modulators in the coronary vascular bed

Revista: Basic Clin. Pharmacol. Toxicol. 119, 184-192, 2016

DOI: 10.1111/bcpt.12560

Autores: A. Oliván-Viguera, M. Sofía Valero, N. Coleman, B. M. Brown, C. Laría, M. D. Murillo, J. A. Gálvez, M. D. Díaz-de-Villegas, H. Wulff, R. Badorrey, R. Köhler

Título: A novel pan-negative-gating modulator of K_{Ca}2/3 channels, fluoro-di-benzoate, RA-2, inhibits endothelium-derived hyperpolarization-type relaxation in coronary artery and produces bradycardia in vivo

Revista: Mol. Pharmacol. 87, 338-348, 2015

DOI: 10.1124/mol.114.095745